

«Костромской государственный университет»
Институт дизайна и технологий
Кафедра лесозаготовительных и деревоперерабатывающих
производств

ТЕХНОЛОГИЯ ТЕПЛОИЗОЛЯЦИОННОГО МАТЕРИАЛА НА ОСНОВЕ ИЗМЕЛЬЧЕННОЙ ДРЕВЕСИНЫ

Титунин Александр Андреевич

Научный руководитель:
Доктор технических наук, профессор
Чубинский Анатолий Николаевич

Кострома, 2022

ВЗАИМОСВЯЗЬ РАБОТЫ С ПРОГРАММНЫМИ ЗАДАЧАМИ

Стратегия развития лесного комплекса Российской Федерации до 2030 года

Стратегия развития промышленности по обработке, утилизации и обезвреживанию отходов производства и потребления на период до 2030 г.

Повышение эффективности использования потенциала древесных ресурсов

Внедрение новых технологий и инновационных решений в области переработки древесины

Стратегии развития промышленности строительных материалов и индустриального домостроения на период до 2020 г. и дальнейшую перспективу до 2030 г.

Энергетическая стратегия России «На период до 2030 года с учетом парниковых газов» №296-ФЗ от 02.07.2021

**ОСНОВНЫЕ
ЗАДАЧИ**

Развитие жилищного строительства

Создание эффективных материалов за счет вовлечения в производство отходов местной промышленности

К 2030 году производство деревянных домокомплектов в России составит 13,6 млн

ЦЕЛЬ И ЗАДАЧИ ИССЛЕДОВАНИЯ

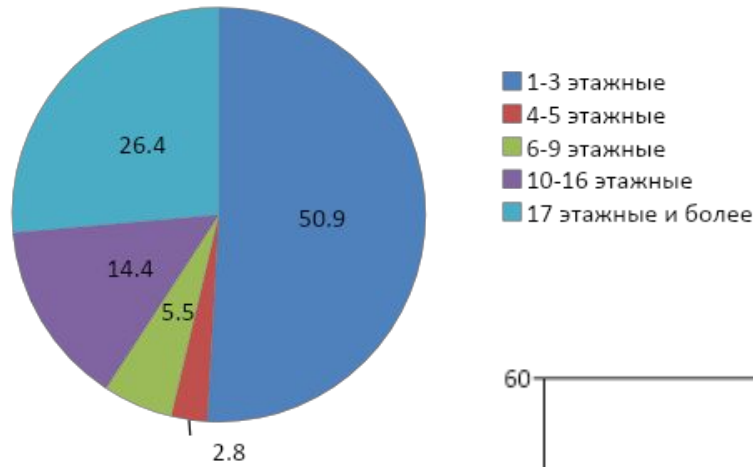
Цель работы – создание теплоизоляционного материала на основе стружки-отходов деревообрабатывающих производств и обоснование технологии его изготовления

Задачи:

- обосновать структуру и целесообразность использования в составе композиционного материала стружки-отходов деревообрабатывающих производств;
- определить размерно-качественные характеристики древесной стружки, получаемой на деревообрабатывающих станках;
- установить взаимосвязь структуры и свойств получаемого композита;
- разработать математико-статистические модели, описывающие влияния технологических режимов производства на эксплуатационные показатели теплоизоляционного композита;
- разработать рекомендации по производству теплоизоляционных композитов для различных объемов древесных ресурсов и экономически обосновать целесообразность организации их серийного производства в условиях действующего предприятия

Динамика строительства жилых домов

Общая площадь жилых домов



Композиционные материалы на основе измельченной древесины

Строительные материалы на основе древесных отходов

Конструкционные материалы

Щепо-цементные блоки (арболит, Durisol и др.)

Цементно-стружечные и гипсо-стружечные плиты (ДСП, ГСП)

Плиты ОСП (OSB)

Теплоизоляционные материалы

Мягкие ДВП (софтбординг, Steico)

Древесно-полимерные композиты (ДПК)

Цементно-стружечные плиты

Древесные ваты

Древесно-стружечные материалы

Древесно-стружечные плиты

Твердые древесноволокнистые плиты

Древесноволокнистая плиты средней плотности (МДФ)

Древесно-полимерные композиты

Формулировка проблемы

Вид
стружки

Различия по форме,
размерам и
фракционному составу
стружки

Вид материалов
матрицы

Требования по
теплопроводности

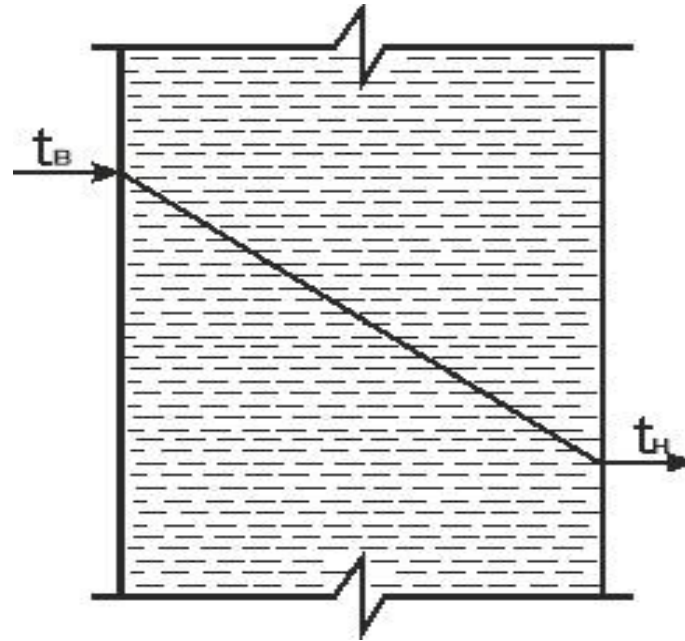
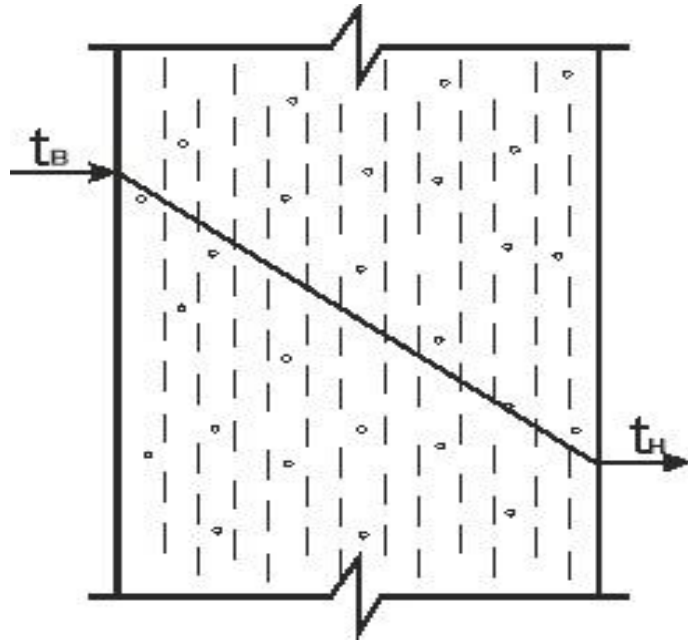
Получение
композита

Требования по
прочности

Управление процессом структурообразования

Рецептура и технологические режимы получения теплоизоляционного
композита

Структурная модель композита



Структурные модели композита: а – тепловой поток в композите плоского прессования; б – тепловой поток в композите, полученном формированием

Основные закономерности теплопроводности материалов из древесины

$$\vec{q} = -\lambda \operatorname{grad} T. \quad (1)$$

$$\lambda_{dp} = \lambda_h \cdot K_\rho \quad (2)$$

$$\lambda'_{dp} = K_x \cdot \lambda_h \cdot K_\rho \quad (3)$$

$$\lambda_h = 0,00497 W + 0,000001 (T+273) + 0,1426 \quad (4)$$

$$K_\rho = 4,77 \cdot \rho^2 - 2,73 \cdot \rho + 1,19 \quad (5)$$

$$K_x = 1 + 1,2 \cos \varphi_i \quad (6)$$

где λ_h - коэффициент теплопроводности, Вт/ (м·К) в направлении поперек волокон при плотности древесины $\rho_h = 500$ кг/м³;

K_ρ , K_x – коэффициенты, учитывающие плотность частиц древесины и их расположение по отношению к тепловому потоку.

W, T – соответственно влажность, % и температура древесины, °C;

ρ – плотность древесины, г/см³.

Основные закономерности теплопроводности материалов из древесины

$$R_k = \frac{F_k}{\frac{F_{dp}}{R_{dp}} + \frac{F_c}{R_c} + \frac{F_e}{R_e}} \quad (7)$$

$$\lambda_k = \frac{\lambda_{dp} V_{dp} + \lambda_c V_c + \lambda_e V_e}{V_k}, \quad (8)$$

F_k, F_{dp}, F_c, F_e – площадь сечения соответственно всего композита, древесного наполнителя, связующего и воздуха, м²; R_k, R_{dp}, R_c, R_e – термическое сопротивление соответственно композита, древесного наполнителя, связующего и воздуха, м²·К/Вт. V_k, V_{dp}, V_c, V_e – объем соответственно всего композита, древесного наполнителя, связующего и воздуха, м³; $\lambda_k, \lambda_{dp}, \lambda_c, \lambda_e$ – коэффициент теплопроводности композита, древесного наполнителя, связующего и воздуха.

$$\lambda_{eff} = \frac{2(1-n)\lambda_1 + (1+2n)\lambda_2}{(2+n) + (1-n)\lambda_2/\lambda_1} \quad (9)$$

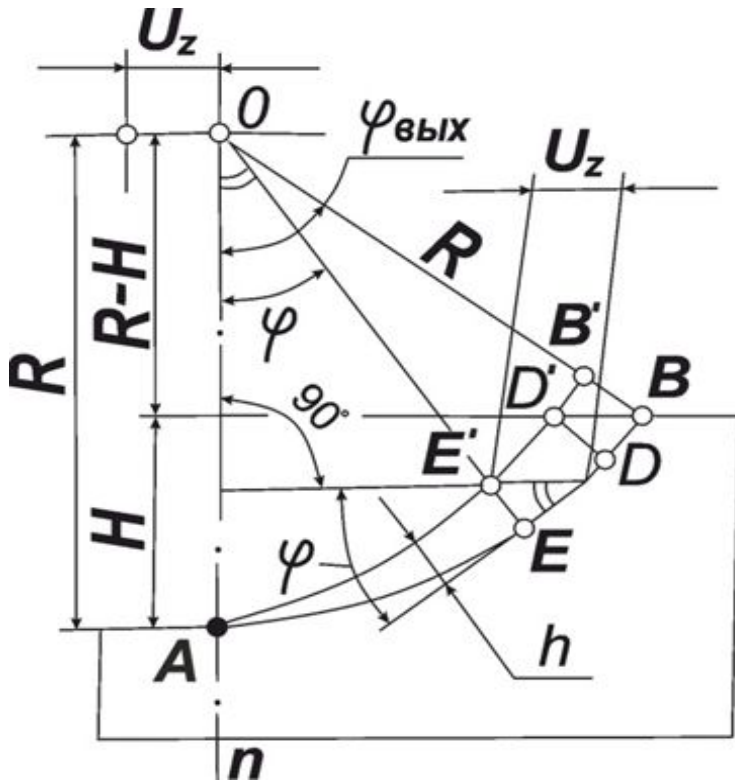
$$\lambda = \lambda_{ce} \left\{ \frac{V_1}{1-V_{ce}} \left[1 - \frac{1-V_{ce}}{\frac{1}{(1-\nu_1)} - \frac{V_{ce}}{3}} \right] + \frac{V_2}{1-V_{ce}} \left[1 - \frac{1-V_{ce}}{\frac{1}{(1-\nu_2)} - \frac{V_{ce}}{3}} \right] \right\} \quad (10)$$

$$\nu_1 = \frac{\lambda_1}{\lambda_{ce}}; \quad \nu_2 = \frac{\lambda_2}{\lambda_{ce}},$$

λ_1 – коэффициент теплопроводности непрерывной (большей по объему) фазы, Вт/(м·К); λ_2 – коэффициент теплопроводности диспергируемой фазы, Вт/(м·К); n – массовая доля диспергируемой фазы, $n \leq 0,4$.

$\lambda, \lambda_{ce}, \lambda_1, \lambda_2$ – коэффициенты теплопроводности композита, связующего, первого и второго наполнителя соответственно, Вт/(м·К); V, V_{dp}, V_c, V_e – объемные доли связующего, первого и второго наполнителя.

Расчет размеров стружки



$$h_{max} \approx U_z \sin \varphi_{вых} \quad (11)$$

$$h_{cp} = U_z \sin \varphi_{cp} = U_z \sin\left(\frac{\varphi_{вых}}{2}\right) \quad (12)$$

$$l = \frac{\pi R}{180} (\varphi_{вых} - \varphi_{вх}) \quad (13)$$

где $\varphi_{вых} = \arccos\left[\frac{R-H}{R}\right]$ – угол выхода, град;
 R – радиус резания, мм; H – глубина фрезерования, мм; h_{cp} – средняя толщина стружки, мм; U_z – подача на резец, мм;
 φ_{cp} – средний угол, град;
 $\varphi_{вых}$ – угол выхода, град

$$l_{стр} = 18,2 \text{ мм} \quad h_{cp} = 0,05...0,15 \text{ мм}$$

Зависимость прочности древесностружечных плит от размеров стружек

Толщина стружки, мм	Предел прочности при статическом изгибе, МПа	Длина стружки, мм	Предел прочности при статическом изгибе, МПа	Ширина стружки, мм	Предел прочности при статическом изгибе, кгс/см ²
0,1	29,0	20	23,2	5	26,0
0,2	26,0	40	26,4	10	24,8
0,3	27,0	60	28,2	15	21,8
0,5	17,0	80	29,0	20	21,0
1,0	14,0	-	-	-	-

Ограничения по размерам стружки

$$h_{max}=0,5\text{мм}$$

$$l_{max}=50-60\text{ мм}, l_{opt} \leq 40\text{мм}$$

$$\frac{b}{l} \leq \frac{1}{6}; \frac{l}{h} \leq 60 \text{ (в}_\text{н}) 120 \text{ (н)}$$

$$\frac{b}{h} \leq 5(\text{в}_\text{н}); \frac{b}{h} \leq 10(\text{н})$$

Доля мелких частиц 12-15 % (фракция 1/0)

Первый этап экспериментальных исследований



Стружка от станка ДС-7



Вид стружки от четырехсторонних станков

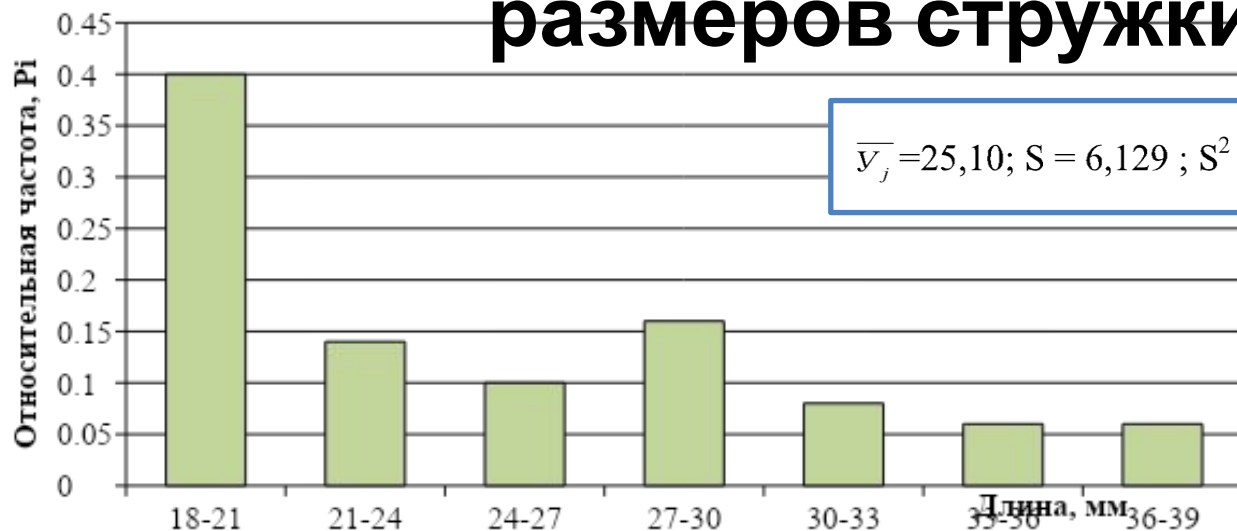
Фракционный состав стружки

ДС-7	Остаток на ситах, %						
	-/8	8/5	5/2,5	2,5/1,6	1,6/0,71	0,71/0,25	0,25/0
Среднее	0,33	2,82	28,69	27,18	25,48	14,03	1,48
Ср.квадр.откл.	0,334	0,666	9,881	3,532	4,970	7,199	0,628
Дисперсия	0,112	0,443	97,627	12,477	24,697	51,828	0,394
Коэф.вариации	102	23,65	34,44	12,99	19,51	51,3	42,55

«Клекнер»	Остаток на ситах, %						
	-/8	8/5	5/2,5	2,5/1,6	1,6/0,71	0,71/0,25	0,25/0
Среднее	0,12	1,07	15,65	34,59	27,05	18,43	3,09
Ср.квадр.откл.	0,204	0,998	8,479	10,569	5,012	12,893	1,977
Дисперсия	0,042	0,997	71,900	111,707	25,120	166,239	3,907
Коэф.вариации	174,65	93,32	54,17	30,55	18,53	69,97	63,90

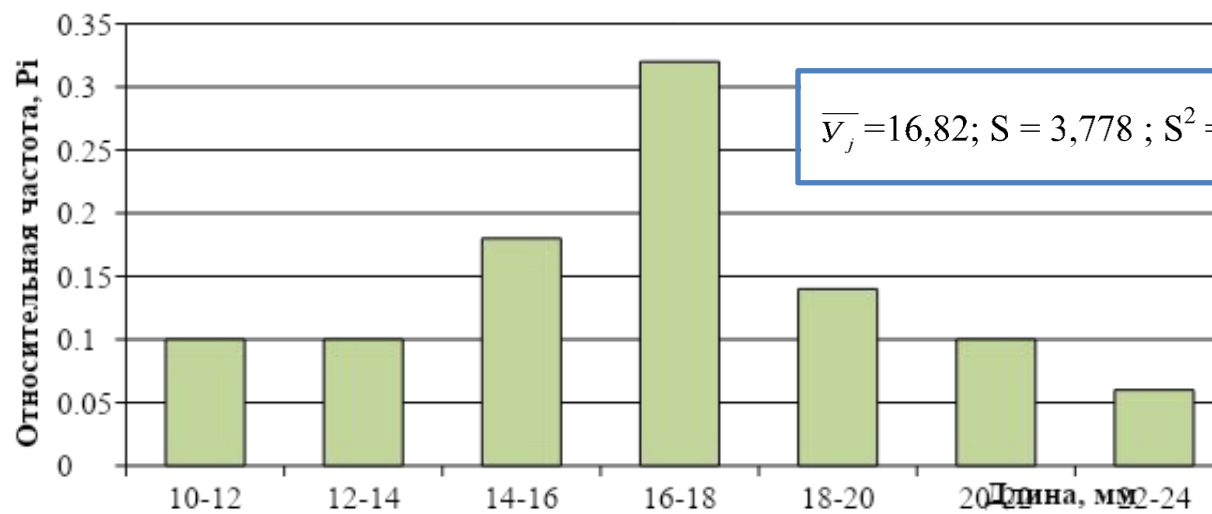
«Beaver»	Остаток на ситах, %					
	-/10	10/7	7/5	5/2	2/0,5	0,5/0
Среднее	0,93	5,54	10,62	34,73	19,2	28,98
Ср.квадр.откл.	0,607	2,603	1,801	1,384	4,515	8,427
Дисперсия	0,368	6,775	3,243	1,916	20,384	71,010
Коэф.вариации	65,34	46,97	16,95	3,99	23,51	29,08

Статистические оценки параметров распределения размеров стружки



$$\bar{Y}_j = 25,10; S = 6,129; S^2 = 37,561; V = 24,42$$

ДС-
7



$$\bar{Y}_j = 16,82; S = 3,778; S^2 = 14,273; V = 22,46$$

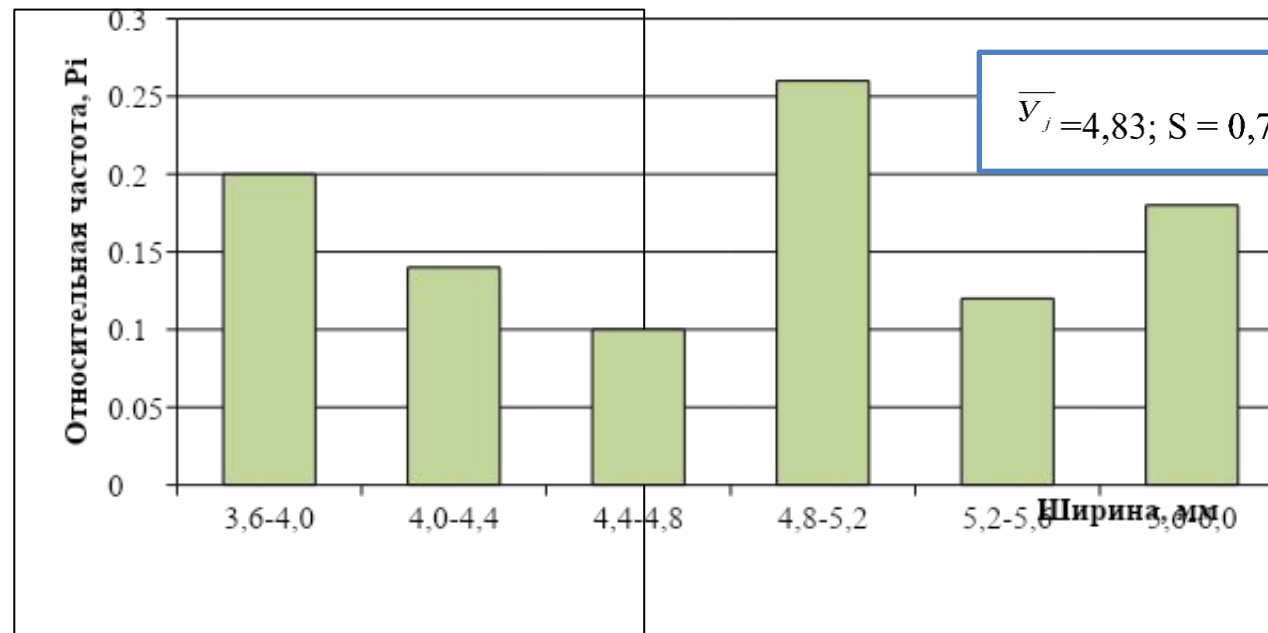
«Клекнер
»

Статистические оценки параметров распределения



$$\bar{Y_j} = 3,32; S = 0,619; S^2 = 0,384; V = 18,66$$

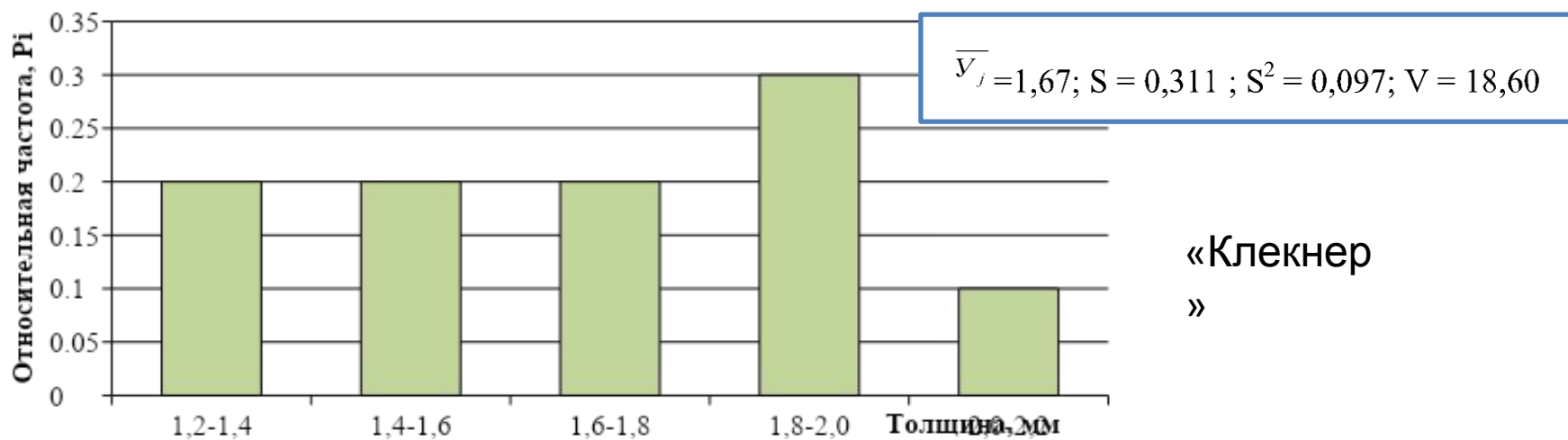
ДС-
7



$$\bar{Y_j} = 4,83; S = 0,740; S^2 = 0,548; V = 15,33$$

«Кленкер
»

Статистические оценки параметров распределения



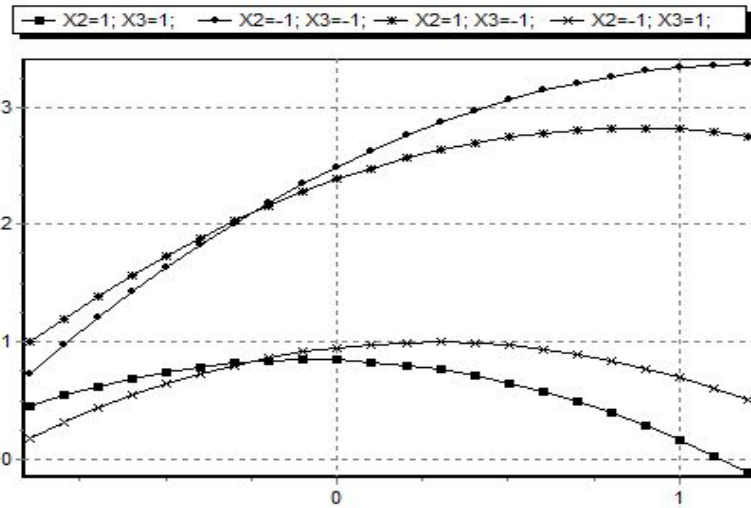
Разработка состава и технологических режимов получения композитов на основе древесной стружки и карбамидоформальдегидного связующего

Наименование фактора	Обозначения уровней варьирования		Уровни варьирования			Интервал варьирования Δ_i
	Натуральные	Кодированные	-1	0	+1	
1. Плотность, кг/м ³		X_1	300	350	400	50
2. Удельная продолжительность прессования, мин/мм	T	X_2	0,3	0,35	0,4	0,05
3. Доля опилок (по массе наполнителя)	D^{ρ}	X_3	0	0,2	0,4	0,2

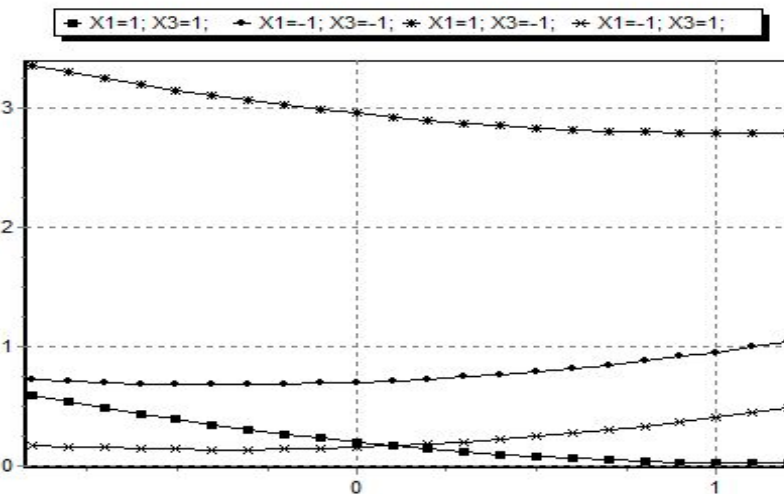
$$Y = 1,231 + 0,552X_1 - 0,075X_2 - 0,824X_3 - 0,586X_1^2 + 0,144X_2^2 + 0,352X_3^2 - 0,210 X_1X_2 - 0,552X_1X_3. \quad (13)$$

$$\sigma_u = -35,72 + 0,21 \rho - 13,34 \tau + 10,26D - 0,0002 \rho^2 + 57,6 \tau^2 + 7,98D^2 - 0,084 \rho \tau - 0,05pD \quad (14)$$

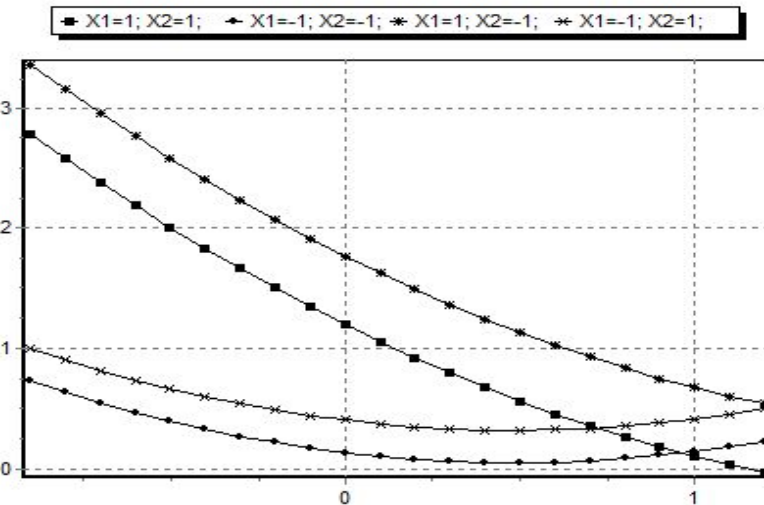
Зависимость прочности композита на КФС



Зависимость прочности композита при статическом изгибе, МПа от плотности плит (X_1)



Зависимость прочности композита при статическом изгибе, МПа от удельной продолжительности прессования (X_2)



Зависимость прочности композита при статическом изгибе, МПа от доли опилок (X_3)



Определение коэффициента теплопроводности



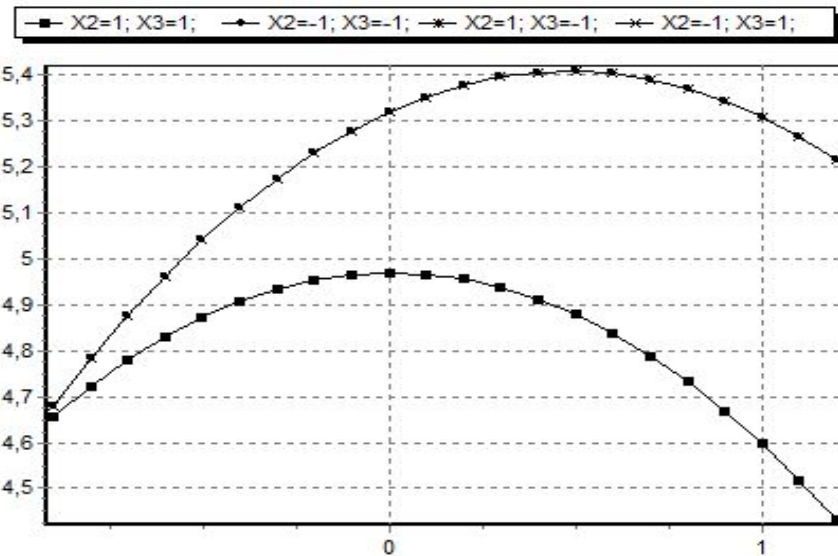
2020-11-25 10:45



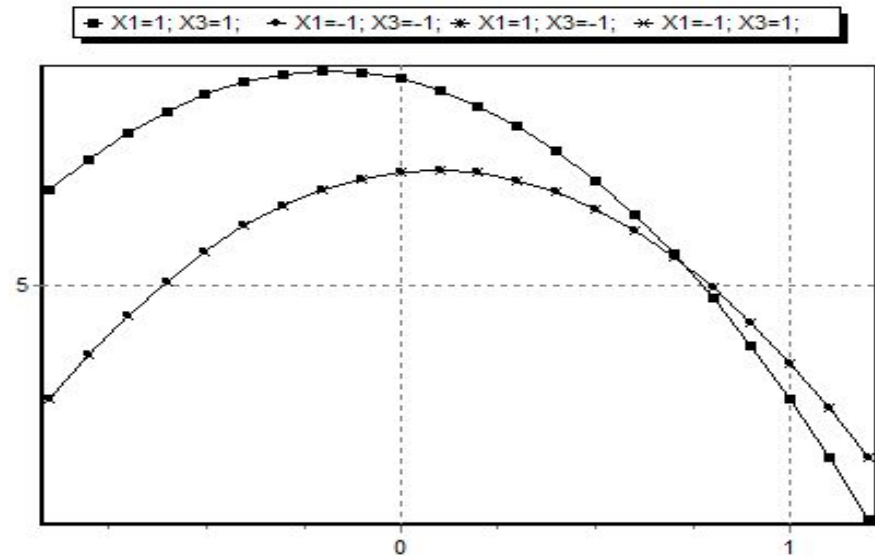
2020-11-25 10:19

№ образца	Масса образца, г	Толщина образца, мм	Ширина образца, мм	Длина образца, мм	Плотность, г/см ³	Теплопроводность, Вт/м·К
1	58,7	18,8	10	10	0,312	0,083
2	58,5	18,8	10	10	0,311	0,085
3	55,6	19,3	10	10	0,288	0,082
4	53,05	19,8	10	10	0,268	0,081
5	59,15	19,6	10	10	0,301	0,079
6	66,2	19,6	10	10	0,338	0,086
7	121,68	23,6	9,95	9,95	0,516	0,111

Исследование разбухания композита по толщине



Зависимость разбухания по толщине от плотности (X₁)



Зависимость разбухания по толщине от удельной продолжительности прессования (X₂)

$$Y = 5,815 + 0,112 X_1 - 0,193 X_2 - 0,380 X_1^2 - 0,655 X_2^2 - 0,180 X_1 X_2. \quad (15)$$

$$P_h = -0,000152 p^2 - 65,5 t^2 + 0,12664 p + 76,17 t - 0,036 p t - 35,299 \quad (16)$$

Исследование свойств композита на комбинированном наполнителе

Состав

Обозначение состава композита	ПЛИТ 5/95			40/60		
	10/2	10/7	7/2	10/2	10/7	7/2
Доля стружки разного фракционного состава, %	10	90		30	70	
		5	95		40	60
Масса стружки, г	28	12,6	239,4	84	78,4	117,6

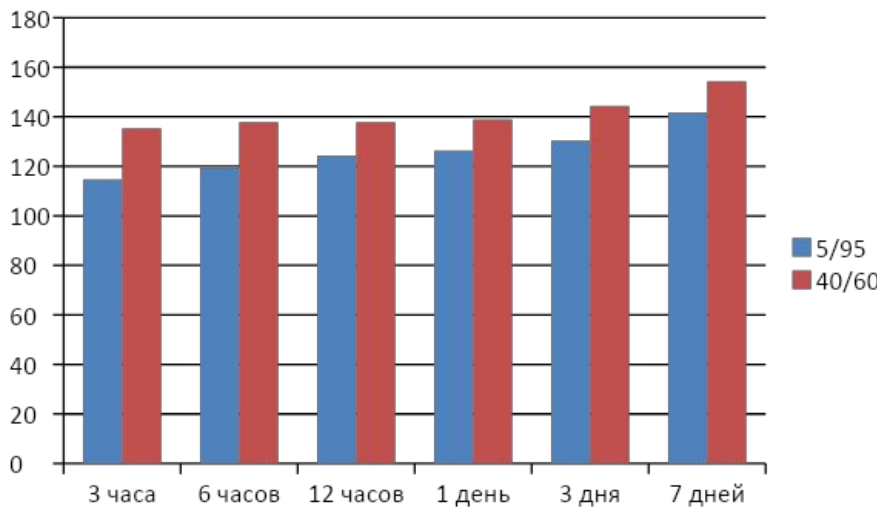
Результаты определения физико-механических показателей композита

Номер образца	5/95 I	5/95 II	5/95 III	40/60 IV	40/60 V	40/60 VI
Предел прочности при статическом изгибе σ_u , МПа	0,52	0,60	0,57	1,33	0,75	0,97
Плотность ρ , кг/м ³	276	258	271	312	289	323

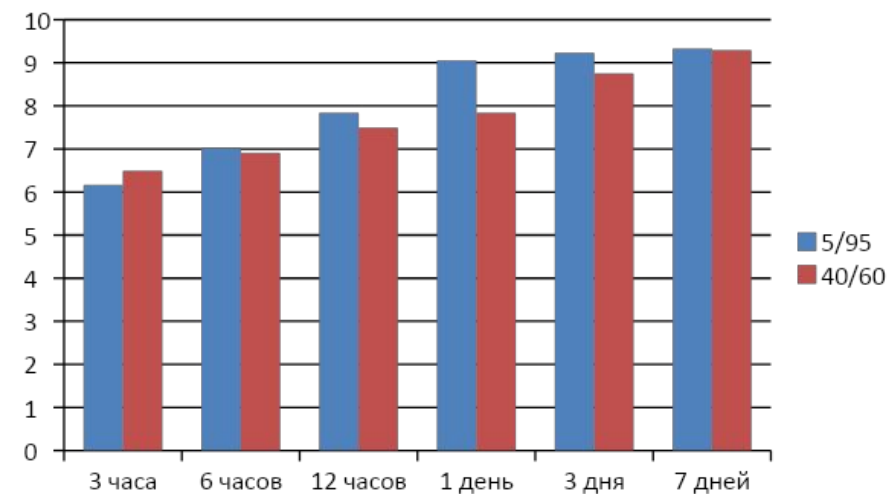
Определение коэффициента теплопроводности композита на базе соснового волокна с различным составом наполнителя



Номер образца	Габариты образца, мм	Масса , г	Плотность, г/см ³	Теплопроводность λ, Вт/(м · К)
Композит 5/95				
Среднее значение	15,52	61,11	0,394	0,094
Композит 40/60				
Среднее значение	15,40	60,61	0,394	0,097



Водопоглащение



Разбухание

Разработка состава и исследование свойств

Диапазон значений интервалы варьирования факторов
композита на минеральном вяжущем

Наименование фактора	Обозначения уровней варьирования		Уровни варьирования			Интервал варьирования Δ_i
	Натуральные	Кодированные	-1	0	+1	
Доля магнезита %	M	X_1	60	70	80	10
Доля мелкой фракции в древесных отходах %	Оп	X_2	20	35	50	15
Концентрация раствора бишофита %	Б	X_3	5	10	15	5

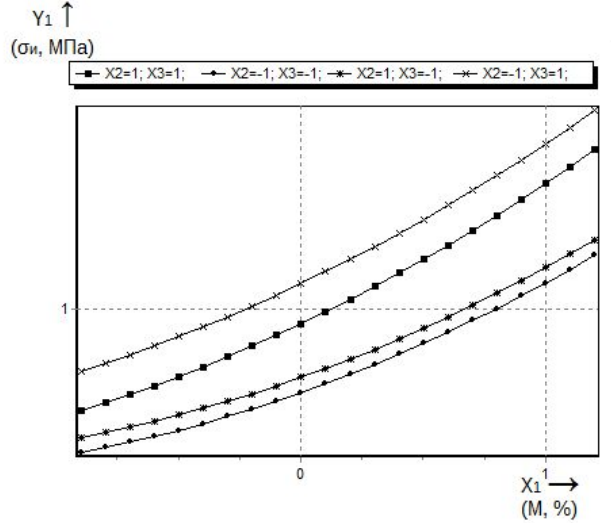
$$Y_1 = 0,611 + 0,519X_1 - 0,03X_2 + 0,205X_3 + 0,11X_1^2 + 0,269X_2^2 - \\ - 0,067X_2X_3 + 0,074X_1X_3; \quad (17)$$

$$\sigma_u = 4,216 - 0,117 \cdot M - 0,0768 \cdot Op - 0,0313 \cdot B + 0,001 \cdot M^2 + \\ + 0,0012 \cdot Op^2 - 0,00089 \cdot Op \cdot B + 0,00148 \cdot M \cdot B; \quad (18)$$

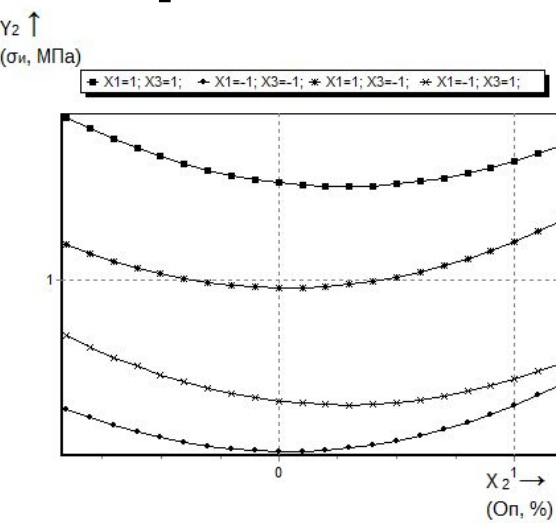
$$Y_2 = 1,221 + 1,075X_1 - 0,095X_2 + 0,231X_3 + 0,495X_1^2 - \\ - 0,219X_1X_2 + 0,306X_1X_3; \quad (19)$$

$$\sigma_{сж} = 18,419 - 0,5956 \cdot M + 0,0959 \cdot Op - 0,3822 \cdot B + 0,00495 \cdot M^2 - \\ - 0,00146 \cdot M \cdot Op + 0,00612 \cdot M \cdot B; \quad (20)$$

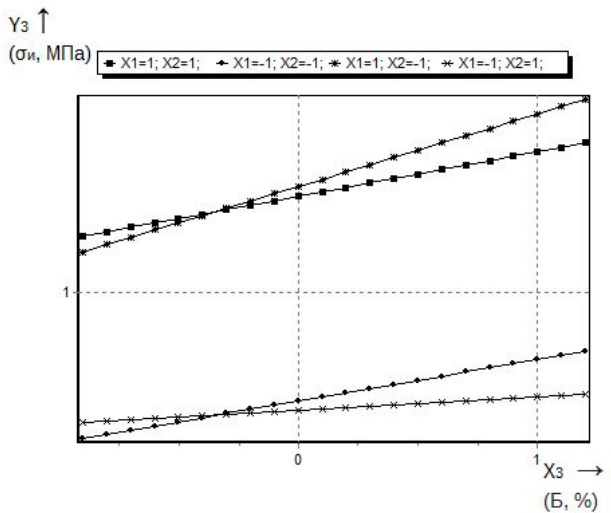
Зависимости прочности при изгибе



а – от доли магнезита;



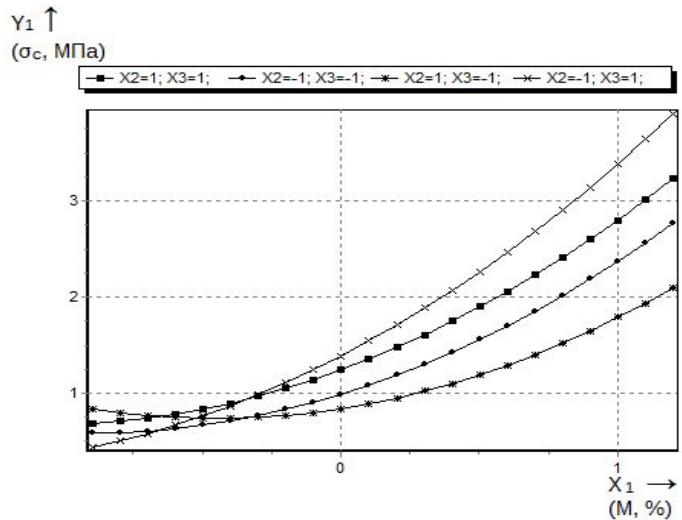
б - от доли мелкой фракции



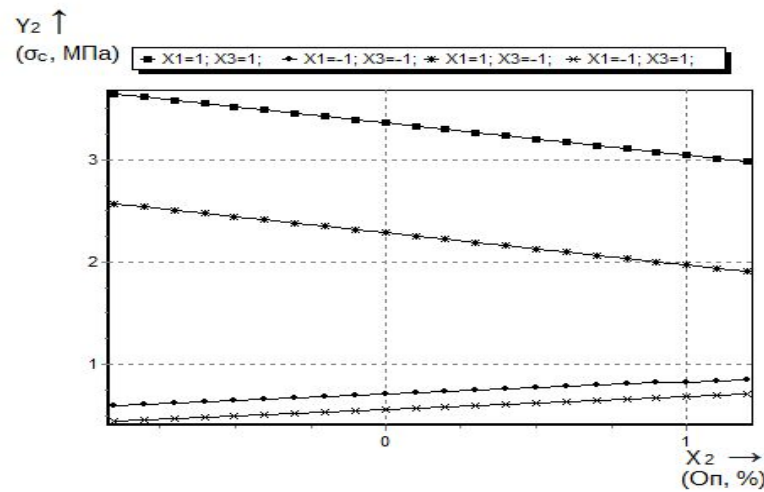
в- от концентрации раствора бишофита



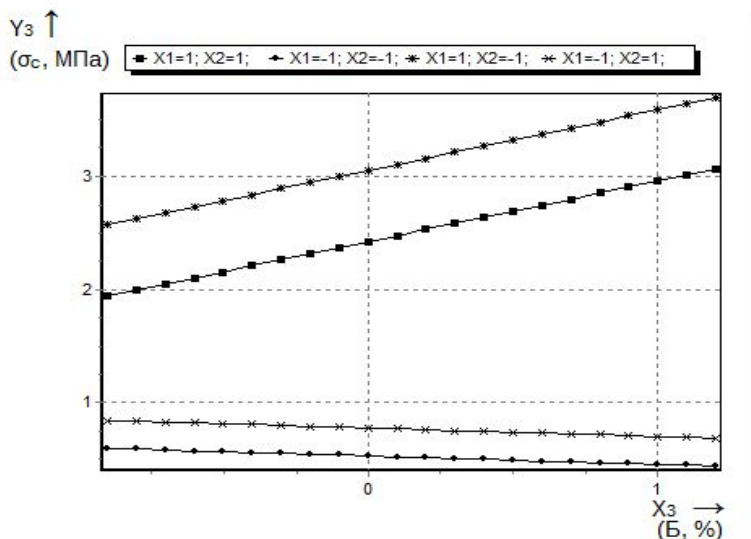
Зависимости прочности при сжатии



а - от доли магнезита;



б - от доли мелкой фракции



в - от концентрации раствора бишофита

Коэффициент теплопроводности композита на минеральном вяжущем

Физическая величина	Среднее значение
Плотность, $\text{г}/\text{см}^3$	0,510
Коэффициент λ , $\text{Вт}/\text{м}\cdot\text{К}$	0,114

Оценка сходимости расчетных и экспериментальных значений коэффициента теплопроводности

Вид композита, плотность ($\text{кг}/\text{м}^3$)	Значение коэффициента теплопроводности, $\text{Вт}/(\text{м}\cdot\text{К})$				Отклонение экспериментальных данных от теоретических			
	экспериментально	теоретическое						
		формула (2.8)	формула (2.15)	формула (2.16)	абсолютное, $\text{Вт}/(\text{м}\cdot\text{К})$	относительное, %	min	max
Стружка + КФН, 300	0,087	0,107	0,114	0,107	-0,02	-0,027	-18,69	-23,68
Стружка + ФФС, 300	0,089	0,108	0,111	0,099	-0,01	-0,022	-10,10	-19,82
Стружка 5/95 + ФФС, 400	0,094	0,134	0,141	0,121	-0,027	-0,047	-22,31	-33,33
Стружка 40/60 + ФФС, 400	0,097	0,140	0,144	0,124	-0,027	-0,047	-22,77	-30,71
Стружка + магнезит, 510	0,114	0,114	0,104	0,109	0	0,01	0	9,62

Схема технологического процесса



Расчет экономической целесообразности

Расчет потребности и стоимости сырья и материалов

Наименование	Ед. изм.	Потребность		Стоимость	
		на единицу	на программу	единицы, руб.	сумма, т.р.
1.Сырье:					
Стружка	м ³	1,27	26556	0	0
Итого:					
2.Материалы					
Смола ФФС	т	0,125	2613	48000	124944
Всего:					

Сравнительный анализ материалов

Вид утеплителя	Коэффициент теплопроводности	Расход на 1 м ² , м ³	Стоимость материала, руб.
Композит	0,089	0,15	2142
Теплоизоляционный в составе панели с наружными слоями из плит OSB			
SIP-панели	0,045	0,174	2276

Выводы и

рекомендации

- 1 Получен композиционный материал строительного назначения с использованием древесных отходов, включая стружку от деревообрабатывающих станков, установлены взаимосвязи между компонентным составом и эксплуатационными свойствами, параметрами режимов обработки.
- 2 В соответствии с физической картиной процесса разработаны структурные и математические модели теплопроводности, основанные на фундаментальных законах тепло-массопереноса в материалах с неоднородной структурой, а также представлениях об анизотропии древесных частиц.
- 3 Получены основные статистические оценки распределения геометрических параметров стружки, позволяющие в дальнейшем моделировать структуру и процесс теплопередачи в композитах с учетом размерно-качественных параметров наполнителя.
- 4 Доказана возможность применения на этапе проектирования составов новых композиционных материалов теоретических положений обобщенной теории проводимости, используемой для расчета двух- и трехкомпонентных смесей, т. е. дисперсных систем, применительно к расчету коэффициента теплопроводности композитов на основе измельченной древесины и матрицы в виде синтетических смол или минеральных вяжущих.

Выводы и

рекомендации

5 для трех видов композиционных материалов, отличающихся по составу наполнителя и виду матрицы, разработаны математические модели влияния доли мелкой фракции в составе измельченной древесины на прочностные свойства композита и его теплопроводность. Полученные математические модели в виде уравнений регрессии показывают, что меньшее влияние на прочность композита на основе синтетических смол оказывает удельная продолжительность прессования, чем плотность. При изменении плотности на 50 кг/м³ прочность теплоизоляционного композита меняется на 0,55 МПа, при изменении удельной продолжительности прессования на 0,05 мин/мм прочность композита меняется на 0,07 МПа, при изменении доли опилок на 0,2 прочность меняется на 0,82 МПа. При уменьшении доли добавки опилок разбухание по толщине уменьшается: при плотности композита без добавки опилочной фракции 300 кг/м³ и удельной продолжительности прессования 0,4 мин/мм средняя величина разбухания по толщине составила 6,96 МПа, что положительно характеризует новый материал.

6 Определены фактические значения коэффициента теплопроводности для трех видов композиционных материалов, при этом наилучшие теплоизоляционные свойства имеют композиционные материалы плотностью 300 кг/м³ на карбамидоформальдегидном связующем ($\lambda=0,087$ Вт/(м·К) и фенолформальдегидном связующем ($\lambda=0,089$ Вт/(м·К), прочность при изгибе которых удовлетворяет требованиям, предъявляемым к теплоизоляционным материалам.

Выводы и рекомендации

7 При использовании комбинированного наполнителя из стружки-отходов от четырехсторонних строгальных станков с добавкой стружки от центробежных стружечных станков в количестве от 5 до 40 % повышается плотность, прочность и теплопроводность образцов. Прочность композиционного материала увеличивается в среднем на 0,13 МПа на каждые 10 % увеличения доли добавки стружки от центробежных станков. При этом теплоизоляционный композит на комбинированном наполнителе довольно активно впитывает воду, в связи с чем рекомендуется использовать добавку стружки от центробежных стружечных станков к стружке-отходам не более 30 %.

8 Для получения конструкционно-теплоизоляционного материала рекомендуется состав композита на основе минерального вяжущего и стружки-отходов, содержащих не более 50 % частиц опилочной фракции: доля древесного наполнителя по массе - 35 %, доля магнезита каустического – 65 %; концентрация раствора бишофита – 15 %. Полученный композит имеет коэффициент теплопроводности $\lambda = 0,114 \text{ Вт}/(\text{м}\cdot\text{К})$, прочность при изгибе не ниже 0,5 МПа.

9 С годовым объемом переработки стружки-отходов от 20 до 27 тыс. м³ целесообразно производить теплоизоляционные плитные материалы на синтетическом связующем. Стоимость ограждающих конструкций на основе разработанного композита при этом сопоставима со стоимостью SIP-панелей. При меньших объемах стружки-отходов рекомендуется производить конструкционно-теплоизоляционный композит по технологии получения

**СПАСИБО
ЗА
ВНИМАНИЕ!**